第一章 文献翻译&个人理解

15 极大极小下界

在短暂的讨论信息论偏移之后，让我们回到 k-armed 随机赌博机上。在下面的内容中，我们规定范围$n>0$和动作次数$k>1$。本章有两个组成部分。首先是针对固定策略和不同的赌博机，精确计算典型赌博机模型中措施之间的相对熵。在第二部分中，我们证明了一个极大极小下界，将第 13 章给出的直觉论点形式化。

个人注：本章主要讨论决策理论问题中极大极小风险的下界。这种界限对于评估决策规则的质量很有用。

15.1 赌博机之间的相对熵

下面的结果将被反复使用，练习题中提供了一些概括。

引理 15.1：散度分解

令$v=(P_1,\cdots P_k)$为一个 k-armed 赌博机相关的奖励分布，令$v'=(P_1',\cdots P_k')$为另一个 k-armed 赌博机相关的奖励分布。固定一些政策π，同时令$\mathbb{P}_{v}=\mathbb{P}_{v\pi}$和$\mathbb{P}_{v'}=\mathbb{P}_{v'\pi}$为由$\pi$和$v$（$\pi$和$v'$）的$n$轮相互联络所得到的正则赌博机模型（4.6 节）的概率测度。

因此有：

$$\mathrm{D}(\mathbb{P}_{v},\mathbb{P}_{v'})=\sum_{i=1}^{k}\mathbb{E}_{v}[T_i(n)]\,\mathrm{D}(P_i,P_i')$$

证明：

假设对于所有$i\in[k]$都有$\mathrm{D}(P_i,P_i')<\infty$。由此可见$P_i<<P_i'$。定义$\lambda=\sum_{i=1}^{k}P_i+P_i'$，$\lambda(A)=\sum_{i=1}^{k}(P_i(A)+P_i'(A))$为任意可测集 A 定义的度量，定理 14.1 表明，只要$(\frac{\mathrm{d}\mathbb{P}_{v}}{\mathrm{d}\mathbb{P}_{v'}})<+\infty$，则有：

$$\mathrm{D}(\mathbb{P}_{v},\mathbb{P}_{v'})=\sum_{i=1}^{k}\mathbb{E}_{v}[\log(\frac{\mathrm{d}\mathbb{P}_{v}}{\mathrm{d}\mathbb{P}_{v'}})]$$

回顾ρ是$[k]$上的计数测度，我们发现$\mathbb{P}_{v}$关于乘积测度$(\rho\times\lambda)^n$的 Radon-Nikodym 导数在式（4.7）中给出：

$$p_{v\pi}(a_1,x_1,\ldots,a_n,x_n)=\prod_{t=1}^{n}\pi_t(a_t\mid a_1,x_1,\ldots,a_{t-1},x_{t-1})\,p_{a_t}(x_t)$$

除了p_{a_t}被p_{a_t}'取代外，$\mathbb{P}_{v}$的密度相同，则有：

$$\log\frac{d\mathbb{P}_{\mathrm{v}}}{d\mathbb{P}_{\mathrm{v}'}}(a_1,x_1,\ldots,a_n,x_n)=\sum_{t=1}^{n}\log\frac{p_{a_t}(x_t)}{p'_{a_t}(x_t)}$$

其中，我们使用了 Radon-Nikodym 衍生品的链规则和涉及策略的条款取消的事实。取双方的期望:

$$\mathbb{E}_v[\log(\frac{d\mathbb{P}_{\mathrm{v}}}{d\mathbb{P}_{\mathrm{v}'}}(A_1,X_1,\ldots,A_n,X_n)]=\sum_{t=1}^{n}\mathbb{E}_v[\log\frac{p_{A_t}(X_t)}{p'_{A_t}(X_t)}]$$

以及

$$\mathbb{E}_v[\log\frac{p_{A_t}(X_t)}{p'_{A_t}(X_t)}]=\mathbb{E}_v[\mathbb{E}_v[\log\frac{p_{A_t}(X_t)}{p'_{A_t}(X_t)}\mid A_t]]=\mathbb{E}_v[\mathrm{D}(\mathrm{P}_{A_t},\mathrm{P}'_{A_t})]$$

其中，第二个等式在$\mathbb{P}_{\mathrm{v}}(\cdot\mid A_t)$条件下， X_t 的分布是$dP_{A_t}=p_{A_t}d\lambda$，回插到前式中得：

$$\mathbb{E}_v[\log(\frac{d\mathbb{P}_{\mathrm{v}}}{d\mathbb{P}_{\mathrm{v}'}}(A_1,X_1,\ldots,A_n,X_n)]=\sum_{t=1}^{n}\mathbb{E}_v[\log\frac{p_{A_t}(X_t)}{p'_{A_t}(X_t)}]$$

$$=\sum_{t=1}^{n}\mathbb{E}_v[\mathrm{D}(P_{A_t},P'_{A_t})]=\sum_{i=1}^{k}\mathbb{E}_v[\sum_{t=1}^{n}\mathbb{I}\{A_t=i\}\mathrm{D}(P_{A_t},P'_{A_t})]$$

$$=\sum_{i=1}^{k}\mathbb{E}_v[T_i(n)]\mathrm{D}(P_{A_t},P'_{A_t})$$

当（15.1）式的右边是无穷大时，由我们前面的计算不难看出，左边也是无穷大的。

我们注意到，无论动作集是否离散，发散分解都成立。在更一般的形式下，有关行动的总和必须用适当的非负措施的积分来代替，该积分概括了预期的臂拔出数量。详情见练习15.8。

个人注：相对熵（relative entropy）又称为 KL 散度（Kullback–Leibler divergence，简称KLD），信息散度（information divergence），信息增益（information gain）。KL 散度是两个概率分布 P 和 Q 差别的非对称性的度量。 KL 散度是用来 度量使用基于 Q 的编码来编码来自 P 的样本平均所需的额外的位元数。 典型情况下，P 表示数据的真实分布，Q 表示数据的理论分布，模型分布，或 P 的近似分布。简单来说，相对熵用来衡量两个取值为正的函数或概率分布之间的差异

15.2 极大极小下界

记 $\varepsilon_N{}^k(1)$ 是具有单位方差的高斯赌博机类，可以通过它们的平均向量进行参数化 $\mu\in\mathbb{R}^k$， 令 $\mu\in\mathbb{R}^k$， v_μ 为第 i 个有奖励分布为 $N(\mu_i,1)$ 的高斯赌博机。

引理 15.2：

令 $k>1$ 且 $n\geq k-1$，因此对于任何政策 π， 存在一个平均向量 $\mu\in[0,1]^k$， 使得：

$$R_n(\pi,v_\mu)\geq\frac{1}{27}\sqrt{(k-1)n}$$

从而 $v_\mu\in\varepsilon_N{}^k(1)$， 因此， 当 $n\geq k-1$时， 极大极小边界 $\varepsilon_N{}^k(1)$ 的极小边界当由上述等

式右边主导的边缘下界：

$$R^*_n(\varepsilon_N{}^k(1)) \ge \frac{1}{27}\sqrt{(k-1)n}$$

证明的思想如图 15.1 所示。

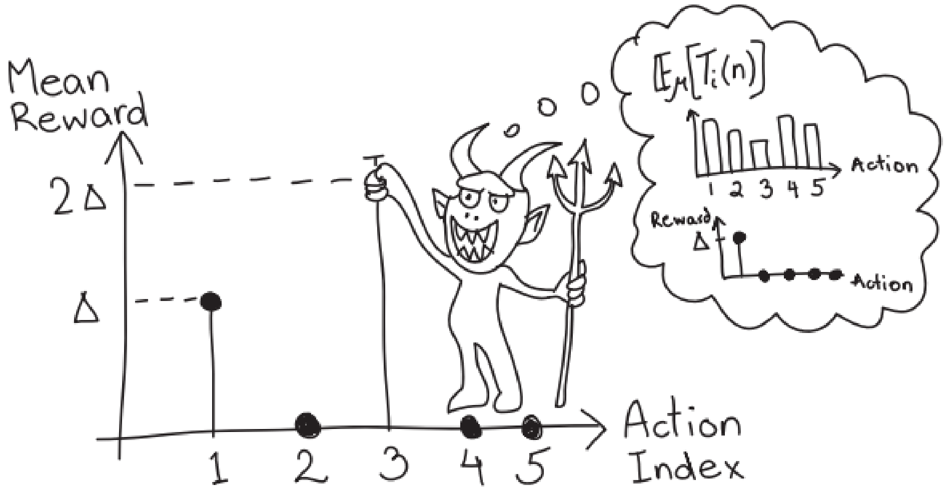

图 15.1 极大极小下界的概念。如果有一个政策和一个环境反对者选择另一个环境，使政策在至少一个环境中遭受巨大的偏差遗憾

证明：

固定策略π，令$\Delta \in [0,1/2]$是稍后选择的常数。根据第 13 章中的建议，我们从单位方差和平均向量$\mu = (\Delta, 0, 0, \ldots, 0)$的高斯赌博机开始。这种环境下和$\pi$在正则空间上产生了分布$\mathbb{P}_{v_\mu,\pi}$和赌博机模型$(H_n, F_n)$。为了简洁起见，我们将使用$\mathbb{P}_\mu$来代替$\mathbb{P}_{v_\mu,\pi}$。同时，$\mathbb{P}_\mu$将用$\mathbb{E}_\mu$表示。要选择第二个环境，令

$$i = \arg\min_{j>1} \mathbb{E}_\mu[T_i(n)]$$

从而，$\sum_{j=1}^{k} \mathbb{E}_\mu[T_i(n)] = n$，并且$\mathbb{E}_\mu[T_i(n)] \le n/(k-1)$。第二个高斯赌博机也是单位方差且均值为

$$\mu' = (\Delta, 0, 0, \ldots, 0, 2\Delta, 0, \ldots, 0)$$

其中$\mu_i' = 2\Delta$。因此$\mu_j = \mu_{\mathrm{j}}'$，除了指数$i$和$v_\mu$是第一个臂，而在$v_\mu$中，臂$i$是最佳的。我们缩写$\mathbb{P}_{\mu'} = \mathbb{P}_{v_{\mu'},\pi}$。将引理 4.5 进行一个简单的计算得到

$$R_n\left(\pi, v_\mu\right) \ge \mathbb{P}_\mu\left(T_1(n) \le n/2\right)\frac{n\Delta}{2} \quad \text{and} \quad R_n\left(\pi, v_{\mu'}\right) > \mathbb{P}_{\mu'}\left(T_1(n) > n/2\right)\frac{n\Delta}{2}$$

然后，应用前一章中的 Bretagnolle–Huber 不等式（定理 14.2），

$$
\begin{aligned}
&R_n\left(\pi, v_\mu\right)+R_n\left(\pi, v_{\mu'}\right)>\frac{n\Delta}{2}\left(\mathbb{P}_\mu\left(T_1(n)\leq n/2\right)+\mathbb{P}_{\mu'}\left(T_1(n)>n/2\right)\right)\\
&\geq\frac{n\Delta}{4}\exp\left(-\mathrm{D}\left(\mathbb{P}_\mu,\mathbb{P}_{\mu'}\right)\right)
\end{aligned}
$$

它保持在上限 $\mathrm{D}\left(\mathbb{P}_\mu,\mathbb{P}_{\mu'}\right)$。为此，我们使用引理 15.1 和 μ,μ' 获得

$$
\mathrm{D}\left(\mathbb{P}_\mu,\mathbb{P}_{\mu'}\right)=\mathbb{E}_\mu\left[T_i(n)\right]\mathrm{D}(\mathcal{N}(0,1),\mathcal{N}(2\Delta,1))=\mathbb{E}_\mu\left[T_i(n)\right]\frac{(2\Delta)^2}{2}\leq\frac{2n\Delta^2}{k-1}
$$

将此插入之前的显示，我们发现

$$
R_n\left(\pi, v_\mu\right)+R_n\left(\pi, v_{\mu'}\right)\geq\frac{n\Delta}{4}\exp\left(-\frac{2n\Delta^2}{k-1}\right)
$$

通过选择 $\Delta=\sqrt{(k-1)/4n}\leq 1/2$，其中不等式遵循定理陈述中的假设。最后一步是下限 $\exp(-1/2)$ 和 $2\max(a,b)\geq a+b$。

我们鼓励读者阅读练习 15.2 中概述的替代证明，其中采取了稍微不同的路径。

15.3 注记

1、我们使用高斯噪声模型，因为 KL 发散度在这种情况下很容易计算但我们实际使用的是 $\mathrm{D}\left(P_i,P_i'\right)=O\left(\left(\mu_i-\mu_i'\right)^2\right)$，当平均值之间的差距 $\Delta=\mu_i-\mu_i'$ 很小。虽然并非所有情况都是这样，但通常情况下确实如此。为什么呢？令 $\{P_\mu:\mu\in\mathbb{R}\}$ 是 Ω 上的一些参数分布族，并假设分布 p_μ 具有平均 μ。假设密度是两次可微的，并且所有的都是积分和导数可以交换（几乎总是这样），我们可以用一个关于 μ 的泰勒展开式来表示

$$
\begin{aligned}
&\mathrm{D}\left(P_{\mu}, P_{\mu+\Delta}\right) \approx \frac{\partial}{\partial \Delta} \mathrm{D}\left(P_{\mu}, P_{\mu+\Delta}\right)\Big|_{\Delta=0} \Delta+\frac{1}{2} \frac{\partial^{2}}{\partial \Delta^{2}} \mathrm{D}\left(P_{\mu}, P_{\mu+\Delta}\right)\Big|_{\Delta=0} \Delta^{2} \\
&=\frac{\partial}{\partial \Delta} \int_{\Omega} \log \left(\frac{d P_{\mu}}{d P_{\mu+\Delta}}\right) d P_{\mu}\Big|_{\Delta=0} \Delta+\frac{1}{2} I(\mu) \Delta^{2} \\
&=-\int_{\Omega} \frac{\partial}{\partial \Delta} \log \left(\frac{d P_{\mu+\Delta}}{d P_{\mu}}\right)\Big|_{\Delta=0} d P_{\mu} \Delta+\frac{1}{2} I(\mu) \Delta^{2} \\
&=-\int_{\Omega} \frac{\partial}{\partial \Delta} \frac{d P_{\mu+\Delta}}{d P_{\mu}}\Big|_{\Delta=0} d P_{\mu} \Delta+\frac{1}{2} I(\mu) \Delta^{2} \\
&=-\frac{\partial}{\partial \Delta} \int_{\Omega} \frac{d P_{\mu+\Delta}}{d P_{\mu}} d P_{\mu}\Big|_{\Delta=0} \Delta+\frac{1}{2} I(\mu) \Delta^{2} \\
&=-\frac{\partial}{\partial \Delta} \int_{\Omega} d P_{\mu+\Delta}\Big|_{\Delta=0} \Delta+\frac{1}{2} I(\mu) \Delta^{2} \\
&=\frac{1}{2} I(\mu) \Delta^{2}
\end{aligned}
$$

其中，第二行中引入的$I_{(\mu)}$称为族的 Fisher 信息$P(\mu)_{\mu}$在。注意，如果λ是$\Delta small$的$(P_{\mu+\Delta})$的常用主要度量，则$dP_{\mu+\Delta}=p_{\mu+\Delta}d\lambda$我们可以写

$$
I(\mu)=-\int \frac{\partial^{2}}{\partial \Delta^{2}} \log p_{\mu+\Delta}\Big|_{\Delta=0} p_{\mu} d \lambda
$$

这是小学课文中通常给出的形式。这一切的结果是$\mathrm{D}(P_{\mu}, P_{\mu+\Delta})$，因为$\Delta small$实际上是$\Delta$的二次方，通过提供的缩放$I_{(\mu)}$，因此，最糟糕的遗憾总是$O\sqrt{nk}$，提供所考虑的分配类别足够充分，也不太奇怪。

2、我们现在已经显示了一个下限$O\sqrt{nk}$，虽然许多上限是$O\sqrt{\log(n)}$。这并不矛盾，因为对数界限取决于次优间隙的倒数，次优间隙可能非常大。

3、我们的下限仅为$n \geq k-1$。在练习 15.3 中，我们要求您理解当$n<k-1$时，有这样一个赌博机

$$
R_{n} \geq \frac{n(2k-n-1)}{2k}>\frac{n}{2}
$$

4、用于证明定理 15.2 的方法可以看作是对统计中的 Le Cam 方法。回想一下，等式（15.2）对于任意μ和μ'

$$
\inf_{\pi} \sup_{v} R_{n}(\pi, v) \geq \frac{n \Delta}{8} \exp \left(-\mathrm{D}\left(\mathbb{P}_{\mu}, \mathbb{P}_{\mu'}\right)\right)
$$

为了解释 Le Cam 的方法，我们需要一点符号。令χ为结果空间，$\mathcal{P}$为χ上的一系列

措施，$\theta:\mathcal{P}\to\Theta$，其中$(\Theta,d)$是一个度量空间。估计器是一个函数$\hat{\theta}:\mathcal{X}^n\to\Theta$。Le-Cam方法用于证明期望误差的极大极小下界估计量

$$\inf \sup_{P\in\mathcal{P}} \mathbb{E}_{X_1,\ldots,X_n\sim P^n}\left[d\left(\hat{\theta}\left(X_1,\ldots,X_n\right),\theta(P)\right)\right]$$

这个方法是用来选择$P_0,P_1\in\mathcal{P}$去最大化$d\left(\theta\left(P_0\right),\theta\left(P_1\right)\right)\exp\left(-n\mathrm{D}\left(P_0,P_1\right)\right)$，在任意$P_0,P_1\in\mathcal{P}$的基础上

$$Eq.(15.3)\geq\frac{\Delta}{8}\exp\left(-n\mathrm{D}\left(P_0,P_1\right)\right)$$

式中，$\Delta=d\left(\theta\left(P_0\right),\theta\left(P_1\right)\right)$。与赌博机下限相比，有两个区别：（1）我们处理顺序设置；（2）选择P_0后，我们选择P_1的方式取决于关于算法。这提供了一个非常需要的额外提升，如果没有它，该方法将是无法捕捉$\mathcal{P}$的特征如何反映在极大极小风险中（或遗憾，在我们的案例）

15.4 文献综述

我们知道的第一个关于下界的工作是 Vogel [1960]对双臂伯努利赌博机的非常精确的极大极小分析。Bubeck 等人[2013b]首次将 Bretagnolle–Huber 不等式（定理 14.2）用于赌博机。正如注记中所述，利用这个不等式证明下界，在统计学中被称为 Le Cam 方法[Le Cam, 1973]。定理 15.2 的证明采用了与 Gerchinovitz 和 Lattimore [2016]相同的思路，而练习题 15.2 中的另一种证明本质上是由 Auer 等人[1995]提出的，他们分析了奖励是伯努利的更困难的情况（见练习题 15.4）。Yu [1997]描述了一些替代 Le Cam 方法的被动、统计设定。这些备选方案可以（而且经常可以）适应序列设置。

第二章 关键证明过程公式推导

15.1 公式推导

缩写$\hat{\theta}=\hat{\theta}\left(X_1,\ldots,X_n\right)$，同时令$R(P)=\mathbb{E}_P[d(\hat{\theta},P)]$。通过三角不等式得

$$d\left(\hat{\theta},P_0\right)+d\left(\hat{\theta},P_1\right)\geq d\left(P_0,P_1\right)=\Delta$$

令 $E=\left\{d\left(\hat{\theta},P_0\right)\leq\Delta/2\right\}$ 在 E^c 上认为 $d\left(\hat{\theta},P_0\right)\geq\Delta/2$，在 E 上认为 $d\left(\hat{\theta},P_1\right)\geq\Delta-d\left(\hat{\theta},P_0\right)\geq\Delta/2$

$$R\left(P_0\right)+R\left(P_1\right)\geq\frac{\Delta}{2}\left(P_0\left(E^c\right)+P_1(E)\right)\geq\frac{\Delta}{4}\exp\left(-\mathrm{D}\left(P_0,P_1\right)\right)$$

结果如下，因为$\max\{a,b\}\geq(a+b)/2$